

تجزیه و تحلیل شبیه فیزیکی سرریز سطحی(منحنی پیوند)، آرام کننده‌ی جامی، و حوضچه‌ی آرامش سد سلمان فارسی

امید طیاری^۱ و ایمان رستمی راوری^۲

تاریخ دریافت: ۸۷/۶/۲ تاریخ پذیرش: ۸۷/۹/۴

چکیده

سرریز‌ها و حوضچه‌های آرامش از مهم‌ترین سازه‌های درساختمان سد بشمار می‌روند که بی‌توجهی به آنها زیان‌هایی جبران ناپذیر را در پی دارد. نخستین بررسی آبی سد سلمان فارسی واقع در استان فارس به وسیله‌ی مهندسان مشاور نشان دادکه سازه‌ی سرریز و جریان در رژیم آن باقیستی مورد مطالعه قرار گیرند، لذا یک شبیه فیزیکی-آبی از بخشی از سرریز سطحی و آرام کننده‌ی جامی آن در نهر پایه دار آزمایشگاه هیدرولیک ساخته شد و با عبور دادن جریان با بدنه‌های گوناگون از روی سازه و اندازه گیری عوامل آبی، رژیم جریان روی سازه تعیین گردید. نتایج حاکی از آنند که سرریز و آرام کننده‌ی جامی متصل به آن باقیستی مورد مطالعه‌ای ژرف‌تر و بازنگری قرار گیرند.

واژه‌های کلیدی: شبیه‌های فیزیکی، سرریز‌های سطحی، آرام کننده‌های جامی، حوضچه‌های آرامش، سد سلمان فارسی

^۱- استادیار دانشگاه آزاد اسلامی واحد کرمان

^۲- کارشناس ارشد سازه‌های هیدرولیکی و مدرس مجتمع فنی بعثت کرمان

* نویسنده‌ی مسؤول مقاله email: rostamiiman@yahoo.com

با ساخت شبیه آبی سرریز منحنی پیوند به بررسی معادله‌ی جلوی منحنی سرریز منحنی پیوند پرداختند. آن‌ها پس از بررسی‌های بسیار و انجام آزمایش‌های گوناگون به معادله‌ی چند جمله‌ای درجه‌ی ۶ با بیشترین ضریب همبستگی برابر با $0.9998/0.9990$ به عنوان بهترین معادله‌ی جلوی منحنی سرریز منحنی پیوند دست یافتند (دستغیب و عشايری ۱۳۸۵). پینتو (۱۹۹۰) با توجه به تجربیات خود در مورد جدا خوردگی و پیش‌بینی هوا دهی سرریز اعلام داشت بدون استفاده از شبیه آبی نمی‌توان با اطمینان لازم به بررسی مطالعات پرداخت. پاگلیارا و همکاران (۲۰۰۶) با مطالعه در مورد میزان آب‌بستگی اعلام داشتند که حرکت مواد بستر به دلیل عدم استهلاک کارمایه‌ی فوران باعث ایجاد حفره‌ی آب‌بستگی می‌گردد که در صورت توسعه ممکن است منجر به شکست سد یا سرریز آن‌گردد و لزوم مطالعه را در مورد شبیه سازی پیش از احداث سازه یادآور شدند.

جمع آوری داده‌های:

یکی از مهمترین مراحل انجام طرحهای پژوهشی، جمع آوری داده‌ها و آمار اولیه می‌باشد. در حقیقت تمام طرحهای مهم، بویژه در زمینه‌ی سازه‌های آبی که با هزینه‌هایی بسیار سنگین احداث می‌گردند نیاز به داده‌های جامع و کامل از محیط و منابع موجود دارند (شفاعی بجستان ۱۳۸۴). داده‌های مورد نیاز جهت ساخت شبیه سرریز سد سلمان فارسی از شرکت سهامی آب منطقه‌ای فارس تهیه شد. ویژگی‌های سد سلمان فارسی بر اساس زیر است:

سد مخزنی سلمان فارسی (قیر) در استان فارس و جنوب شیراز، بر رودخانه قره آغاچ که از کوههای زاگرس سرچشمه می‌گیرد در محل تنگه‌ی کارزین در حال احداث می‌باشد. دسترسی به محل از طریق راه اختصاصی آسفالت به طول ۱۳ کیلومتر، منشعب از کیلومتر ۱۲ جاده‌ی قیر به فیروزآباد صورت می‌گیرد. فاصله‌ی محل احداث سد تا شیراز نزدیک به ۲۰۰ کیلومتر و از شهرهای فیروزآباد و جهرم نیز به ترتیب نزدیک به ۷۵ و ۱۰۰ کیلومتر می‌باشد. از نظر جغرافیایی، محدوده‌ی سد بین ۲۸ درجه و ۳۰ دقیقه تا ۲۸ درجه و ۴۵ دقیقه عرض

پیشگفتار:

با پیشرفت فناوری، ساخت سازه‌های عظیم آبی در راستای توسعه‌ی منابع آب پیشرفت شایان توجهی نموده است. هزینه‌ی زیاد و مدت زمان طولانی احداث سازه‌های آبی و توجه به این حقیقت که شبیه سازی، دقیق‌ترین روش در بررسی مسائل و مشکلات این گونه سازه‌های است، پژوهشگران و طراحان را بر آن داشته تا با ساخت شبیه فیزیکی از سازه‌ی طراحی شده و انجام آزمایش‌ها از جنبه‌های پنهان پدیده در شرایط گوناگون آگاه شوند. از این راه صرفه جویی‌های لازم صورت گرفته و کاستی‌ها و اشکالات طرح اصلاح می‌گردد. شایان ذکر است که سرریز‌ها متداول ترین نوع شبیه‌های آبی می‌باشد. در این پژوهش سعی شده است تا با ساخت شبیه در آزمایشگاه هیدرولیک دانشگاه آزاد مرودشت و قراردادن آن داخل یک نهر پایدار، تاثیرات انواع گوناگون جریان و بدء‌های گوناگون آن را پس از گذشتن از روی این سازه مورد محاسبه قرار داد.

دست آوردها و لزوم ساخت شبیه‌های آبی سال‌های

اخیر در ایران و جهان:

مرکز تحقیقات آب (۱۳۷۳) با ساخت و مطالعه در مورد شبیه آبی سرریز مسجد سلیمان به پدیده‌ی جدادشده‌ی و تشکیل ناحیه‌ی چرخ آب در نزدیکی دیوار هادی سمت چپ پی برد و با افزایش طول پایه و تغییر انحنای دیوار در گزینه‌های مختلف، هندسه‌ی دیوار هدایت را بهینه گرداند. این مساله در مورد شبیه‌های فیزیکی سرریز استور، طالقان، میرزا شیرازی، کرخه و ایلام نیز انجام شده است. مرکز تحقیقات وزارت نیرو (۱۳۷۲) با ساخت شبیه آبی سد کارون ۱ به طراحی سرریز و جام انتهایی جدید برای این سد اقدام کردند تا خسارات‌های به وجود آمده از طراحی گذشته را برطرف کنند. دانشمند و همکاران (۱۳۸۵) با آزمایش آبی بر دریچه‌ی فلپ سرریز سد شیرین دره نشان دادند که طراحی صورت گرفته از نظر شکل و چگونگی پاشش آب از روی دریچه‌ی یک طرفه و از نظر عرض دریچه یک طرفه، مناسب نبوده است و از همین‌رو پیشنهادهای لازم جهت اصلاح را ارائه کردند. دستغیب و عشايری (۱۳۸۵)

دریا می باشد (دفتر مطالعات سد سلمان فارسی ۱۳۸۶).

مراحل ساخت شبیه بدنه‌ی سرریز

شیوه برای $20/9\text{cm}$ بدست آمده است.

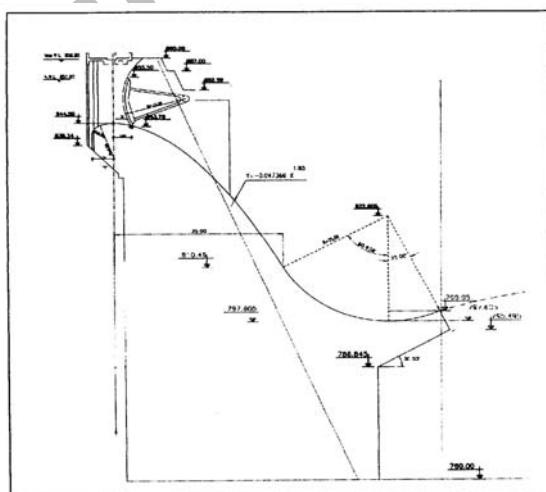
سربز نیز با توجه به مطالب و شکل موجود محاسبه و در بالای تاج شیوه برای $2\times 14+4/75=32/75$ متر می باشد استفاده شد و با توجه به این که مقیاس پایدار سازی برای $1:80$ بود ، عرض بالای تاج شیوه برای $40/9\text{cm}$ گردیده و عرض پایین سربز نیز با توجه به مطالب و شکل موجود محاسبه و در شیوه کردن سربز ، از یک قسمت از سربز که عرض بالای تاج این قسمت از سربز برابر با $32/75=2\times 14+4/75=32/75$ متر می باشد استفاده شد و با توجه به این که مقياس پایدار سازی برای $1:80$ بود ، عرض بالای تاج شیوه برای $40/9\text{cm}$ گردیده و عرض پایین سربز نیز با توجه به مطالب و شکل موجود محاسبه و در سلمان فارسی (1386) . با توجه به ابعاد نهر پایدار برای دهانه برابر با $14/75=32/75$ است (دفتر مطالعات سد باشد و یک پایه می باشد و یک بخش دیگر می باشد ، عرض بالای هر کدام از دو بخش مساوی ، برابر با $1/5\text{m}$ $3\times 14+2\times 4/75=51/5\text{m}$ دهانه بی دهانه و یک پایه می باشد که عرض بالای آن دارای 3 دهانه و دو پایه می باشد و از آنجا که عرض هر دهانه برابر با 14 متر و عرض هر پایه برابر با $4/75$ متر 3 بخش شامل دو قسمت مساوی که سازه ای پرتاب کننده ای جامی ، سه فوران پرتابی مستقل بخش تقسیم می شود و در نتیجه هنگام خروج جریان از به وسیله ای دو دیواره ای هادی سراسری جداگانه به 3 پایه ای دو سریز پس از عبور از 7 پایه جریان سیلاب ورودی به سریز پس از عبور از 7 پایه به وسیله ای دو دیواره ای هادی سراسری جداگانه به 3

شمالی و ۵۳ درجه و ۱۵ دقیقه طول شرقی قرار دارد.
دفت مطالعات سد سلمان، فارس، ۱۳۸۶.

- اهداف عمده احداث این سد به شرح زیر است:
 - تأمین آب شرب شهرهای واقع در منطقه ی طرح به میزان ۴۳ میلیون مترمکعب در سال.
 - تأمین آب کشاورزی اراضی دشت های قیر و کارزین، علی آباد، افزار و لاغر روی هم نزدیک به ۳۲۰۰۰ هکتار (طرح توسعه ۱۴۰۰۰ هکتار و طرح بهبود اراضی ۱۱۰۰۰ هکتار و حفظ وضع موجود به میزان ۷۰۰۰ هکتار) در تلفیق با منابع آب زیرزمینی.
 - تولید کارماهیه ی برقایی به وسیله ی دو دستگاه توربین با ظرفیت هر دستگاه ۶/۵ مگاوات و تولید سالانه نزدیک به ۵۰ گیگاوات ساعت.

- مهار کردن سیلاب.
- احیای اراضی شور و قلیایی دشت های با قابلیت توسعه.
- اشتغال زایی و افزایش تولیدات کشاورزی و دامی در منطقه ی طرح.

سریز این سد، سرریز منحنی پیوند دریچه دار با معادله‌ی نیمرخ $x^{1/85} - 0.47366 y = 0$ که منحنی آن از تاج با رقوم $844/5$ متر از سطح دریا آغاز می‌شود و تا نقطه‌ی شروع سازه پرتاب کننده جامی، واقع در 35 متری پایین دست تاج با رقوم $810/46$ متر ادامه دارد. تراز کف سازه پرتاب کننده $797/805$ متر، تراز لبه‌ی جام $799/95$ متر و تراز مرکز دایره جام $822/805$ متر از سطح



شكل 1- نیمرخ مقطع عرضی سرریز سد سلمان فارسی

لرزش و تخریب آن نشود ، در زیر آن یک زیر ساخت چوبی قرار داده شد. برای بر پا کردن شبیه ابتدا در فاصله ی ۱ متری از ابتدای نهر پایدار، قطعات پلکسی گلاس ۵ میلی متری شفاف و به صورت عمود در جهت طول نهر پایدار قرار گرفت تا جلوی آب را بگیرد و بتوان آب را تا ارتفاع تاج سرریز بالا برد ، در دو سوی سرریز نیز قطعات پلکسی گلاس قرار گرفت تا جریان آب فقط بر سرریز حرکت کند و از اطراف آن بیرون نریزد. در انتهای سرریز برای جلوگیری از بازگشت آب به کناره های سازه در بخشی که بین انتهای سازه و بدنه ی نهر پایدار باقی مانده بود ، به وسیله ی قطعات پلکسی گلاس کاملاً مسدود شد تا خطاها احتمالی به کمترین حد ممکن برسد.

- سازه ی پرتاب کننده ی جامی :

قطع عرضی این سازه قوسی از دایره ای به شعاع ۲۵ متر و زاویه ی لب ۲۵ درجه نسبت به سطح افق در نظر گرفته شد (دفتر مطالعات سد سلمان فارسی ۱۳۸۶). برای شبیه کردن این بخش نیز شعاع قوسی با مقیاس ۱:۸۰ و با زاویه ی ۲۵ درجه نسبت به افق محاسبه گردید. مختصات نیمرخ محاسبه شده شبیه به همراه سازه پرتاب کننده ی جامی، به وسیله ی نرم افزار Auto cad ترسیم و از نیمرخ بدست آمده چاپ گرفته شد. این چاپ بر دو قطعه اسفلنج ۱۰ میلی متری قرار داده و بر اساس نیمرخ از اسفلنج جدا گردید. برای سطح عبور جریان (منحنی جلوی سرریز) از ورق گالوانیزه استفاده شد و برای اینکه جریان آب از روی سرریز باعث ایجاد



شکل ۲- مراحل ساخت شبیه

گزارش های آبشنستگی، بر مبنای میانگین فاصله ی درزه ی سنگ بستر در نمونه ی واقعی و بستر طبیعی رودخانه ، با مقیاس طرح تعیین شده است. این مصالح از شن با قطر $1/0.3$ سانتی متر ، به وسیله ی الک کردن بدست آمدند و در داخل حوضچه به ارتفاع $14/3$ سانتی متر قرار داده شد. پس از تعییه حوضچه ی استغراق در داخل نهر پایدار و دقیقاً پس از انتهای شبیه سرریز ، آزمایش ها آغاز شد. در بددهای گوناگون جریان از روی سرریز عبور داده شد و با گذشتن زمانی نزدیک به 10 تا 20 دقیقه و پس از آن که جریان در داخل حوضچه کاملاً یکنواخت گردید و زمانی که حفره ی داخل حوضچه به یک شکل

حوضچه ی استغراق

در این طرح با توجه به ابعاد نهر پایدار و فضای موجود و محاسبات مربوط به بخشی از سرریز سد و میزان تأثیر آن بر حوضچه ی استغراق ، با مقیاس ۱:۸۰ حوضچه ای مکعب مستطیل به طول 180cm و عرض 50cm ، که تا عمق $14/3$ سانتی متر از شن دانه بندی شده با میانگین قطر ($d_{50} = 1/0.3 \text{ cm}$) پر شده است، طراحی و ساخته شد. انتهای حوضچه به وسیله ی قطعه ای از پلکسی گلاس مسدود شد. حوضچه دقیقاً از انتهای سرریز آغاز شده است. همچنین دانه بندی مصالح غیر چسبنده پر شده در حوضچه ی پایاب جهت انجام مطالعات و

ویژگی های آزمایش:

در روی شبیه سرریز ۴ مقطع برای ارتفاع بار آبی انتخاب شد . به دلیل اینکه نزدیک به ۲۰ سانتی متری پیش از تاج یکنواختی در موج و جریان وجود داشت و بر تاج امکان قرائت دقیق ارتفاع بار آبی آب امکان پذیر نبود، نخستین مقطع ۲۰ سانتی متر پیش از تاج سرریز انتخاب شد. دومین مقطع روی بدنه ی سرریز انتخاب گردید و سومین و چهارمین مقطع به ترتیب، کف بدنه و خروجی سرریز انتخاب شد و در تمامی این مقاطع مقدار بار آبی آب به وسیله ی خط کش و با دقت نیم میلی متر قرائت شد . برای بدست آوردن بدنه جریان از یک سرریز مثلثی ۶۰ درجه در انتهای نهر پایدار استفاده گردید. آزمایش در ۱۲ مرحله انجام گرفت و در هر مرحله ، شیر فلکه جریان ورودی را بیشتر باز می کردیم تا بدنه بیشتری ایجاد شود و ارتفاع بار آبی آب بر چهار مکان ذکر شده و دمای آب به وسیله ی دماسنچ اندازه گیری می گردید . با توجه به نتایج بدست آمده در آزمایش نمودار های افت نسبی کارمایه نسبت به بدنه ، عمق بحرانی ، سرعت ، کارمایه و عدد رینولدز ترسیم و نتایج آنالیز گردید.

پایدار و تقریباً ثابت تبدیل شد، جریان آب قطع گردید.
در این بخش فاصله‌ی بخورد فوران آب به درون حوضچه، ثبت گردید و پس از قطع جریان آب شکل کلی حفره برداشته شد و به وسیله‌ی خطکش با دقت نیم میلیمتر از ابعاد حفره‌ی ایجاد شده داده‌برداری شد. در انتهای داده‌های مربوط به حفره‌های بوجود آمده وارد Surfer شد و شکل پستی و بلندی و سه بعدی نرم‌افزار هر حفره ترسیم گردید. در انتهای هر آزمایش و پس از داده‌برداری‌ها مصالح بستر حوضچه کاملاً داخل حوضچه و به حالت اولیه برگردانده شد تا شرایط انجام هر آزمایش کاملاً بیکسان باشد.



شکل ۳- حوضچه‌ی استغراق ساخته شده در داخل نهر پایدار

جدول ۲ - نتایج آزمایش ششم.

٦		٧		٨	
(m) اتفاقع دوی کلک سروریز		(m) اتفاقع دوی خروجی سروریز		ارتفاقع دوی اداره کبری هد در سروریز	
٠٠٠٧ DIN مکانیکی	٠٠٠١٣ نحوه نصب	٠٠٠٢٤ نحوه نصب	٠٠٠٥٩ نحوه نصب	٠٠٠٣٧ نحوه نصب	٠٠٠٥٨ نحوه نصب
٠٠٠٥٤٣٧ یعنی (z)	٠٠٠٢٤ مشترک	٠٠٠٢٠٢٢ مشترک	٠٠٠٥٤٧ مشترک	٠٠٠٣٧ مشترک	٠٠٠٣٨ مشترک
٠٠٠٠٧ مشترک	٠٠٠٢٤ مشترک	٠٠٠٢٠٢٢ مشترک	٠٠٠٠٧ مشترک	٠٠٠٣٧ مشترک	٠٠٠٣٨ مشترک
٠٠٠٧ مشترک	٠٠٠٥٧٥٥ مشترک	٠٠٠١٣ مشترک	٠٠٠٣٧ مشترک	٠٠٠٣٧ مشترک	٠٠٠١٧٥ مشترک
٠٠٠٩٤١٨٥٦٦٦ مشترک	٠٠٠٣١٩٤٠٢٥ مشترک				
R	v	R	v	R	v
٠٠٠٦٦٦١٢ Fr	E-06 Re	٠٠٠١١٦٩ Fr	E-06 Re	٠٠٠٣٠٨ Fr	E-06 Re
٠١٢٣٣٥٢٧٩ مشترک	٠٢١٨٢٣ مشترک	٠٥٩٠٦٩ مشترک	٠٢٣٠٣٨ مشترک		

جدول ۱- نتایج آزمایش دوم.

۱	۲	۳	۴	۵
مقدار جهی گراد	نعت داد و نوشی ساختنی گردان	موقع در بالا (cm) مدت	هد روی سر بریز (m)	ارتفاع روی بدنه در وسط (m)
۱۷	۱	۰,۰۱۸	۰,۰۱۶ [جود] [جهی] [جهی] ۰,۰۱۱۹ ۰,۰۰۹ [عمر] V/2/S (عمر) ۰,۰۱۶ ۰,۰۰۱۰۷ E (عمر)	۰,۰۱۷ [جود] [جهی] [جهی] ۰,۰۲ ۰,۱۶۵ [عمر] V/2/S (عمر) ۰,۰۱۷ ۰,۰۰۱۱۹ [عمر] V/2/S (عمر) ۰,۰۱۷ ۰,۰۰۱۰۷ E (عمر)

جدول ۴- نتایج آزمایش یازدهم.

۱	۲	۳	۴	۵
دما درجه سانتی گراد	تعداد دور شیر	محوج در بالا دست (cm)	هد روی سربریز (m)	ارتفاع روی بدنه در وسط (m)
۱۷	۱۰	۰,۰۷۳	۰,۰۴۸ شرکت بر الایاف (متر) ۰,۰۱۵۷۴ ۰,۳۹ ۰,۶۳۳۲ ۰,۰۱۵۷۵ ۰,۲۲ ۲,۸۷۹۶۳ v2/2g(متر) Z(متر) y(متر) ۰,۰۴۸ ۰,۰۱۷۱۷ ۰,۷۳ ۰,۰۱۷ ۰,۴۲۷۴۶ ۰,۴۱ E(متر) ۰,۰۱۷۱۷۴۲۸ ۰,۰۸۵۴۷۱۵	۰,۰۱۷ شرکت بر الایاف (متر) ۰,۰۱۵۷۴ ۰,۳۹ ۰,۶۳۳۲ ۰,۰۱۵۷۵ ۰,۲۲ ۲,۸۷۹۶۳ v2/2g(متر) Z(متر) y(متر) ۰,۰۴۸ ۰,۰۱۷۱۷ ۰,۷۳ ۰,۰۱۷ ۰,۴۲۷۴۶ ۰,۴۱ E(متر) ۰,۰۱۷۱۷۴۲۸ ۰,۰۸۵۴۷۱۵
R	v		R	V
۰,۰۵۱۰۳	۱,۱E-06		۰,۰۱۵۷۵	۱,۱E-06
Fr	Re		Fr	Re
۰,۸۸۷۱	۰,۶۴۴۶,۳		۰,۰۵۲۲۵	۰,۶۹۹,۹

۶	۷	۸
ارتفاع روی کف سربریز (m)		
(m)	(m)	ارتفاع روی برابر اندازه گیری هد در سربریز (cm) مطلق
۰,۰۲۱	۰,۰۲۷	۰,۰۲۷
شرکت بر الایاف (متر) ۰,۰۱۵۷۴ ۰,۳۹ ۰,۶۳۳۲ ۰,۰۱۵۷۵ ۰,۲۲ ۲,۸۷۹۶۳ v2/2g(متر) Z(متر) y(متر) ۰,۰۲۱ ۰,۳۹۴۵۱ ۰,۱۵ E(متر) ۰,۰۳۵۶,۰,۹۷ ۰,۰۵۴۷۸۷۴۶	شرکت بر الایاف (متر) ۰,۰۱۵۷۴ ۰,۳۹ ۰,۶۳۳۲ ۰,۰۱۵۷۵ ۰,۲۲ ۲,۸۷۹۶۳ v2/2g(متر) Z(متر) y(متر) ۰,۰۲۱ ۰,۳۹۴۵۱ ۰,۱۵ E(متر) ۰,۰۳۵۶,۰,۹۷ ۰,۰۵۴۷۸۷۴۶	شرکت بر الایاف (متر) ۰,۰۱۵۷۴ ۰,۳۹ ۰,۶۳۳۲ ۰,۰۱۵۷۵ ۰,۲۲ ۲,۸۷۹۶۳ v2/2g(متر) Z(متر) y(متر) ۰,۰۲۱ ۰,۳۹۴۵۱ ۰,۱۵ E(متر) ۰,۰۳۵۶,۰,۹۷ ۰,۰۵۴۷۸۷۴۶
R	v	R
۰,۱۱۵۸۷۷	۱,۱E-06	۰,۰۲۱۶۶
Fr	Re	Fr
۰,۸۷۸۷۴۸	۰,۶۱۰۱,۴	۰,۵۳۹۶
		۰,۵۷۸۷۸۲,۴

جدول ۳- نتایج آزمایش هفتم.

۱	۲	۳	۴	۵
دما درجه سانتی گراد	تعداد دور شیر	محوج در بالا دست (cm)	هد روی سربریز (m)	ارتفاع روی بدنه در وسط (m)
۱۷	۳,۵	۰,۰۵۵	۰,۰۵۲ شرکت بر الایاف (متر) ۰,۰۱۵۷۴ ۰,۳۹ ۰,۶۳۳۲ ۰,۰۱۵۷۵ ۰,۲۲ ۲,۸۷۹۶۳ v2/2g(متر) Z(متر) y(متر) ۰,۰۵۵ ۰,۰۴۲۲ ۰,۷۳ ۰,۰۱۰۷ ۰,۸۳,۵۶ ۰,۴۱ E(متر) ۰,۰۵۲ ۰,۰۱۰۷ ۰,۷۳ ۰,۰۱۰۷ ۰,۸۳,۵۶	۰,۰۵۲ شرکت بر الایاف (متر) ۰,۰۱۵۷۴ ۰,۳۹ ۰,۶۳۳۲ ۰,۰۱۵۷۵ ۰,۲۲ ۲,۸۷۹۶۳ v2/2g(متر) Z(متر) y(متر) ۰,۰۵۵ ۰,۰۴۲۲ ۰,۷۳ ۰,۰۱۰۷ ۰,۸۳,۵۶
R	v		R	V
۰,۰۴۱۶	۱,۱E-06		۰,۰۰۴۷۱	۱,۱E-06
Fr	Re		Fr	Re
۰,۳۰۰۴۹	۱,۴۷۷		۰,۱۰۷۸۷	۱,۴۸۵۲,۸

۶	۷	۸
ارتفاع روی کف سربریز (m)		
(m)	(m)	ارتفاع برابر اندازه گیری هد در سربریز در سربریز (cm) مطلق
۰,۰۰۸	۰,۰۱۵	۰,۰۱۵
شرکت بر الایاف (متر) ۰,۰۱۵۷۴ ۰,۳۹ ۰,۶۳۳۲ ۰,۰۱۵۷۵ ۰,۲۲ ۲,۸۷۹۶۳ v2/2g(متر) Z(متر) y(متر) ۰,۰۰۸ ۰,۰۱۵۷۸ ۰,۱۵ ۰,۰۱۵ ۰,۱۷۵ E(متر) ۰,۰۰۸ ۰,۰۱۵۷۸ ۰,۱۵ ۰,۰۱۵ ۰,۱۷۵ ۰,۰۰۸ ۰,۰۱۵۷۸ ۰,۱۵ ۰,۰۱۵ ۰,۱۷۵	شرکت بر الایاف (متر) ۰,۰۱۵۷۴ ۰,۳۹ ۰,۶۳۳۲ ۰,۰۱۵۷۵ ۰,۲۲ ۲,۸۷۹۶۳ v2/2g(متر) Z(متر) y(متر) ۰,۰۰۸ ۰,۰۱۵۷۸ ۰,۱۵ ۰,۰۱۵ ۰,۱۷۵ E(متر) ۰,۰۰۸ ۰,۰۱۵۷۸ ۰,۱۵ ۰,۰۱۵ ۰,۱۷۵	شرکت بر الایاف (متر) ۰,۰۱۵۷۴ ۰,۳۹ ۰,۶۳۳۲ ۰,۰۱۵۷۵ ۰,۲۲ ۲,۸۷۹۶۳ v2/2g(متر) Z(متر) y(متر) ۰,۰۰۸ ۰,۰۱۵۷۸ ۰,۱۵ ۰,۰۱۵ ۰,۱۷۵
R	v	R
۰,۰۰۷۵	۱,۱E-06	۰,۰۱۴۲
Fr	Re	Fr
۱۱,۳۷۹۶۹۱۲	۰,۱۰۷۸۷,۷	۰,۰۸۴۹۸ ۰,۲۲۵۵۱,۹

جدول ۵- نتایج آزمایش دوازدهم

۱	۲	۳	۴	۵
دما درجه سانتی گراد	تعداد دور شیر	محوج در بالا دست (cm)	هد روی سربریز (m)	ارتفاع روی بدنه در وسط (m)
۱۷,۵	۱۳	۰,۰۸۱	۰,۰۷۸ شرکت بر الایاف (متر) ۰,۰۱۵۷۴ ۰,۳۹ ۰,۶۳۳۲ ۰,۰۱۵۷۵ ۰,۲۲ ۲,۸۷۹۶۳ v2/2g(متر) Z(متر) y(متر) ۰,۰۷۸ ۰,۰۱۵۸۳ ۰,۱۵ ۰,۰۱۵ ۰,۱۹ E(متر) ۰,۰۷۸ ۰,۰۱۵۸۳ ۰,۱۵ ۰,۰۱۵ ۰,۱۹	۰,۰۷۹ شرکت بر الایاف (متر) ۰,۰۱۵۷۴ ۰,۳۹ ۰,۶۳۳۲ ۰,۰۱۵۷۵ ۰,۲۲ ۲,۸۷۹۶۳ v2/2g(متر) Z(متر) y(متر) ۰,۰۷۸ ۰,۰۱۵۸۳ ۰,۱۵ ۰,۰۱۵ ۰,۱۹
R	v		R	V
۰,۰۵۶۴۹	۱,۱E-06		۰,۰۱۴۹۳	۱,۱E-06
Fr	Re		Fr	Re
۰,۷۱۰۶۹	۰,۲۶۸۳,۴		۰,۵۵۵۵۳	۰,۱۵۸۱,۳

۶	۷	۸
ارتفاع روی کف سربریز (m)		
(m)	(m)	ارتفاع برابر اندازه گیری هد در سربریز در سربریز (cm) مطلق
۰,۰۲۷	۰,۰۳	۰,۰۳
شرکت بر الایاف (متر) ۰,۰۱۵۷۴ ۰,۳۹ ۰,۶۳۳۲ ۰,۰۱۵۷۵ ۰,۲۲ ۲,۸۷۹۶۳ v2/2g(متر) Z(متر) y(متر) ۰,۰۲۷ ۰,۰۱۵۷۵ ۰,۱۵ ۰,۰۱۵ ۰,۱۷۵ E(متر) ۰,۰۲۷ ۰,۰۱۵۷۵ ۰,۱۵ ۰,۰۱۵ ۰,۱۷۵	شرکت بر الایاف (متر) ۰,۰۱۵۷۴ ۰,۳۹ ۰,۶۳۳۲ ۰,۰۱۵۷۵ ۰,۲۲ ۲,۸۷۹۶۳ v2/2g(متر) Z(متر) y(متر) ۰,۰۲۷ ۰,۰۱۵۷۵ ۰,۱۵ ۰,۰۱۵ ۰,۱۷۵	شرکت بر الایاف (متر) ۰,۰۱۵۷۴ ۰,۳۹ ۰,۶۳۳۲ ۰,۰۱۵۷۵ ۰,۲۲ ۲,۸۷۹۶۳ v2/2g(متر) Z(متر) y(متر) ۰,۰۲۷ ۰,۰۱۵۷۵ ۰,۱۵ ۰,۰۱۵ ۰,۱۷۵
R	v	R
۰,۰۲۴۰۹۱	۱,۱E-06	۰,۰۲۴۳۱
Fr	Re	Fr
۰,۵۴۶۸۸۷	۰,۲۸۰۹,۹	۰,۵۸۴۰۶۵
		۰,۵۸۴۷۷,۲



شكل ۴- فوران ورودی به حوضچه ی استغراق.



شکل ۶- حفره ایجاد شده در حوضچه.

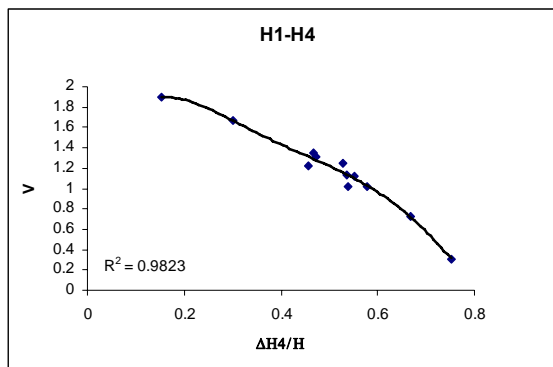


شکل ۵- جریان آشفته بر بدنه‌ی سرریز در آزمایش دهم

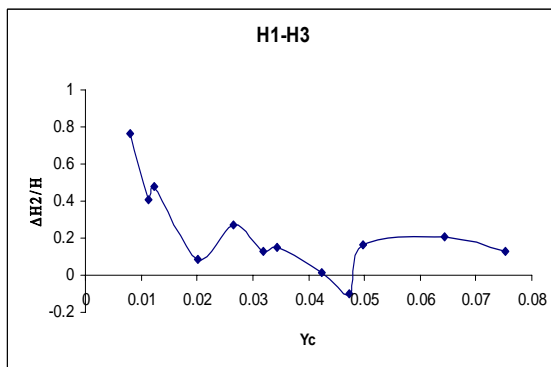
سه بخش با افزایش عمق بحرانی افت نسبی کارمایه کاهش می‌یابد بخش نخست که از عمق بحرانی ۰/۰۰۸ تا ۰/۰۲۰ متر می‌باشد ، افت نسبی کارمایه با شیب بسیار زیاد کاهش می‌یابد. بخش دوم که بین عمق بحرانی ۰/۰۲۶ تا ۰/۰۴۷ متر است ، شیب افت نسبی کارمایه کمتر از بخش قبل می‌باشد. بخش سوم که از عمق ۰/۰۴۹ تا ۰/۰۷۵ متر است یک جهش و افزایش نسبی در افت کارمایه داریم که علت آن افزایش بار سرعت در این نقاط می‌باشد.

نتایج :

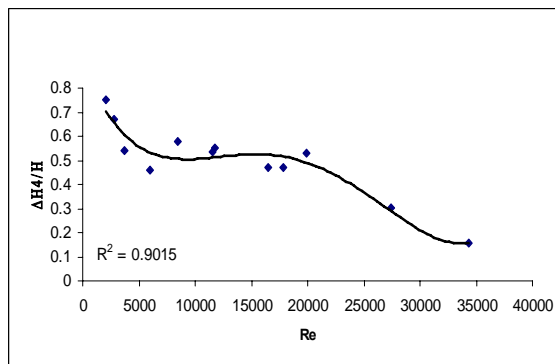
در شکل ۷ تغییرات افت نسبی کارمایه‌ی بین مقاطع پیش از تاج و کف بدنه‌ی سرریز نسبت به سرعت نمایش داده شده است. از روی این نمودار می‌توان دریافت که میزان تغییر افت کارمایه حالت سینوسی دارد. با توجه به رابطه‌ی برنولی
$$h = \frac{v^2}{2g} + \frac{p}{\gamma} + z$$
 در بدنه‌های اولیه به این دلیل که عامل موثر در میزان کارمایه‌ی بار ارتفاع می‌باشد و اختلاف ارتفاع بین تاج و کف بدنه‌ی سرریز زیاد است ، میزان تغییرات افت نسبی کارمایه بسیار زیاد می‌باشد ، ولی در بدنه‌های بعدی به دلیل این که سرعت جریان زیاد می‌شود و بار سرعت نقش اساسی در تغییرات افت نسبی پیدا می‌کند تغییرات افت نسبی کارمایه بسیار کم می‌شود . همان‌گونه که در نمودار مشخص است می‌توان نمودار را به ۳ بخش مجزا تقسیم کرد که در هر



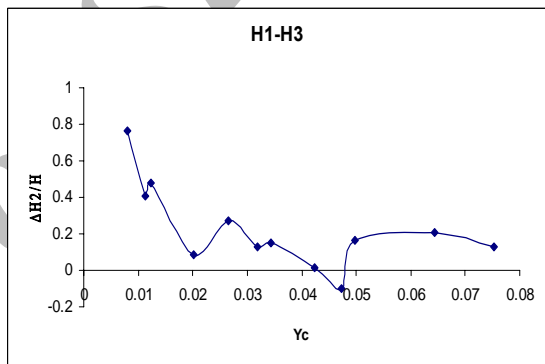
شکل ۷- تغییرات افت نسبی کارمایه بین مقاطع پیش از تاج سرریز و کف بدنه‌ی سرریز نسبت به سرعت



شکل ۸- تغییرات افت نسبی کارمایه بین مقاطع سرریز نسبت به عمق بحرانی



شکل ۹- تغییرات افت نسبی کارمایه نسبت به عدد رینولدزین مقاطع یک و چهار

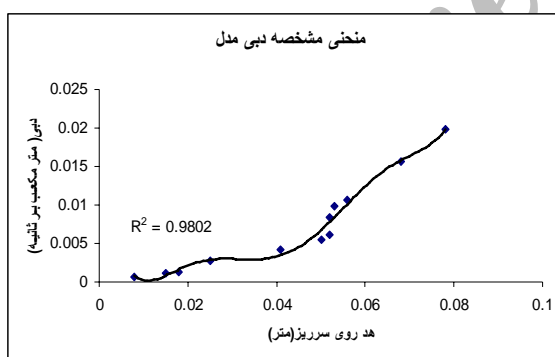


شکل ۱۰- تغییرات افت نسبی کارمایه سرریز و به سرعت کف نسبت تاج بین مقاطع یک و چهار

افزایش بار سرعت در این نقاط است . در نمودار (۳) تغییرات افت نسبی کارمایه نسبت به سرعت بین مقاطع یک و چهار نمایش داده شده است. همان گونه که از نمودار مشخص است ، با افزایش سرعت افت نسبی کارمایه به صورت تقریباً خطی و بسیار ملایم کاهش می یابد. به این صورت که در کمترین سرعت $11/11 \text{ m/s}$ بیشترین افت نسبی کارمایه و دربیشترین سرعت $1/93 \text{ m/s}$ دارای کمترین مقدار افت نسبی کارمایه می باشیم زیرا در مقطع دوم و روی بدنه‌ی سریز سرعت ، عاملی تأثیرگذار بر روی میزان کارمایه است و با افزایش سرعت در مقطع دوم که به صورت توان در معادله‌ی کارمایه تأثیر می گذارد ، باعث افزایش کارمایه در مقاطع پس از آن می گردد و در نتیجه در کف بدنه‌ی

شکل ۸ را می توان به ۳ بخش مجزا تقسیم کرد که در هر سه بخش با افزایش عمق بحرانی ، افت نسبی کارمایه کاهش می یابد. بخش نخست از عمق بحرانی $0/008$ تا $0/020$ می باشد که در این بخش افت نسبی کارمایه به صورت تقریباً خطی و با شیب بسیار زیاد کاهش می یابد. به گونه‌ای که در عمق $0/008$ میزان افت نسبی کارمایه $0/764$ و در عمق $0/020$ برابر با $0/084$ می باشد. بخش دوم که بین عمق بحرانی $0/026$ تا $0/047$ متر است ، افت نسبی کارمایه به صورت تقریباً خطی ، ولی با شیب کمتر نسبت به بخش قبل از $0/027$ تا $0/040$ کاهش می یابد. در بخش سوم نیز که از عمق $0/049$ تا $0/075$ می باشد ، مقدار کارمایه از $0/131$ به $0/166$ می کاهش می یابد. علت جهش افت نسبی کارمایه از $0/084$ و همچنین $0/10$

به $0.0054\text{ متر مکعب بر ثانیه}$ و معادل 0.838 متر بdst است. نکته‌ی جالب توجه این است که کمترین و بیشترین مقدار افت کارمایه برای یک بدنه، بین مقاطع گوناگون مشاهده شده است. برای بدنه‌های گوناگون بین مقاطع روی تاج و وسط بدنه‌ی سرریز کمترین افت نسبی انجام پذیرفته است و در بیشتر بدنه‌ها (به $0.0041\text{ متر مکعب بر ثانیه}$) تا انتهای بیشترین افت نسبی کارمایه بین مقاطع وسط بدنه و خروجی سرریز بوقوع پیوسته است. به بیان دیگر در هنگام خروج جریان از سرریز شاهد افت نسبی کارمایه بوده‌ایم. بیشترین افت نسبی کارمایه در بیشترین بدنه (به معادل سیلان 1000 ساله طرح) بین مقاطع وسط بدنه و خروجی سرریز رخ داده است و مقدار آن 0.0351 می باشد . در کل روند تغییرات افت نسبی کارمایه نسبت به بدنه در مقاطع گوناگون حالتی سینوسی دارد. با استفاده از شکل ۱۲ می‌توان با داشتن ارتفاع جریان عبوری از روی شبیه سرریز مقدار بدنه مربوطه را بdst آورد. با استفاده از شکل ۱۳ می‌توان با داشتن ارتفاع جریان عبوری از روی سرریز اصل، مقدار بدنه عبوری اصل را بdst آورد.

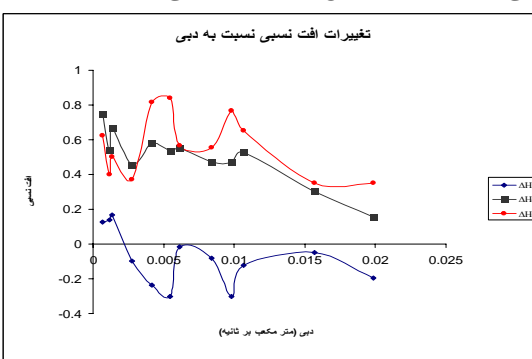


شکل ۱۲- نمودار مشخصه‌ی بدی-مقیاس شبیه نمودار

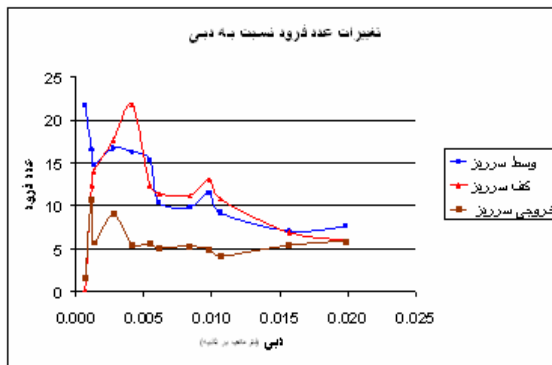
سر ریز، با افزایش سرعت میزان کارمایه افزایش می‌یابد و در نتیجه تغییرات افت نسبی کارمایه بین مقطع پیش از تاج و کف بدنه‌ی سرریز کاهش می‌یابد.

در شکل ۱۰ تغییرات افت نسبی کارمایه نسبت به عدد رینولدز بین مقاطع یک و چهار نمایش داده شده است. همان گونه که در نمودار مشخص است با افزایش عدد رینولدز افت نسبی کارمایه بین این دومقطع با شبیه نسبتاً ملایم کاهش می‌یابد، به گونه‌ای که در بیشترین عدد رینولدز کمترین افت نسبی کارمایه و در کمترین عدد بیشترین افت نسبی کارمایه را شاهد می‌یابد.

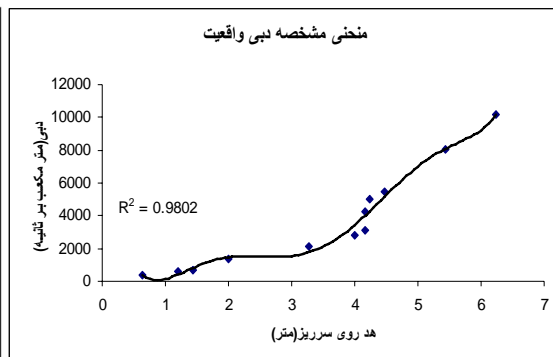
همان گونه که در شکل ۱۱ مشاهده می‌شود، برای مقاطع گوناگون، تغییرات افت نسبی کارمایه به بدنه روندی متفاوت را طی می‌کند، اما در هر سه نمودار مشخص است که بیشترین افت نسبی تقریباً برای کمترین بدنه به وقوع می‌پیوندد. همچنین در بدنه‌های بالا افت نسبی به مقادیر کم خود می‌رسد. در بین سه مقطع نمودار بالا، کمترین مقدار افت نسبی کارمایه بین مقاطع تاج و وسط بدنه‌ی سرریز و برای بدنه $0.0054\text{ متر مکعب بر ثانیه}$ و معادل 0.0303 می -بدست آمده است. بیشترین افت نسبی کارمایه بین مقاطع وسط و خروجی سرریز و برای



شکل ۱۱- نمودار کلی تغییرات افت نسبی کارمایه نسبت به بدنه



شکل ۱۴- نمودار تغییرات عدد فروود نسبت به دبی



شکل ۱۵- نمودار مشخصه بدء مقیاس شبیه نمودار

پرتاب کننده‌ی جامی موجب ایجاد نوسان‌های شدید فشارهای هیدرودینامیکی و توزیع نامتقارن آن می‌گردد که خود منشاء وقوع ارتفاعهای سازه‌ای روی کف و دیوارهای پرتاب کننده‌ی جامی خواهد بود. ضمن آن که فوران پرتابی خروجی را دردهم ریخته و نامزون می‌نماید. شدت این امواج متلاطم در شبیه‌آبی و در بددهای بزرگتر به حدی است که مانع از اندازه‌گیری عمق آب روی سازه‌ی پرتاب کننده‌ی جامی می‌شود. وقوع این پدیدهای سازه‌ی پرتاب کننده‌ی جامی پایانه‌ی سرریز سد سلمان فارسی، با توجه به کاربری آن به عنوان سقف نیروگاه آبی سد، پدیدهای نابهینه و غیرقابل پذیرش است. این اشکال‌ها بیشتر مربوط به تشکیل الگوهای جریان درهم ریخته و امواج متلاطم روی سازه‌ی پرتاب کننده‌ی جامی و تشید آنها در بددهای بیش از ۳۰۰۰ مترمکعب بر ثانیه و تشکیل فوران‌های پرتابی درهم ریخته و نامتقارن بوده است. از نتایج مطالعات شبیه‌آبی این گونه استنباط می‌شود که ابعاد سازه‌ی سرریز موجود اعم از عرض مفید تاج، ارتفاع سرریز از تاج تا لبه جام و نیز شعاع عمل خم سازه‌ی پرتاب کننده‌ی جامی، به منظور عبور مطمئن به سیلان‌های خروجی مورد انتظار ۹۴۰۰ مترمکعب بر ثانیه) کافی نبوده و دلیل اصلی ایجاد اختلالات میدانی حین عبور جریان بشمار می‌رود. با این مشاهدات می‌توان استنباط نمود که شعاع انحنای سازه‌ی پرتاب کننده‌ی جامی در سرریز سد سلمان فارسی، برای عبور سیلان طراحی آن، بسیار کوچک در نظر گرفته شده است. بنابراین افزایش شایان توجه طول خم باکت مثلا

بررسی کلی تغییرات عدد فروود نسبت به بدء

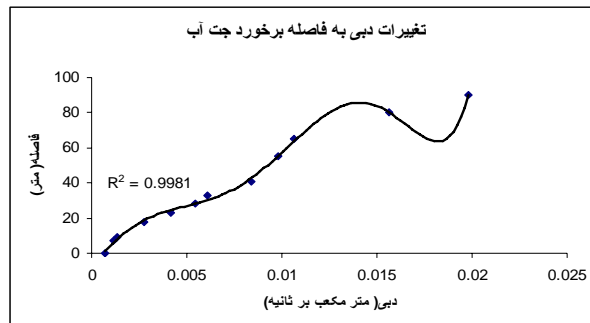
همان گونه که از منحنی موجود مشخص است، در تمام مقاطع (غیر از نکته‌ی ذکر شده در مطالب گذشته) جریان در محدوده‌ی حالت آشفته‌ی یعنی جریان فرا بحرانی قرار دارد و در بددهای بالا مقدار عدد فروود تمامی مقاطع (وسط، کف و خروجی سرریز) نزدیک به یک عدد و در حدود ۵/۸ می‌باشد.

نتیجه‌گیری کلی شبیه طراحی شده سرریز

جریان عبوری از کنار سرریز، تحت تاثیر انحنای دیواره‌ی آن، منجر به تشکیل گردابهای در آستانه‌ی ورود به دهانه‌ی سرریز می‌شود. در نتیجه، افت شایان توجهی در سطح آب به وجود می‌آید و امواج فوق بحرانی ایجاد می‌شود که پس از انعکاس از دیواره‌ی سرریز به پایین‌دست منتقل می‌شود. شدت این امواج با افزایش بدء افزایش می‌یابد. اگرچه ایجاد پدیده یاد شده در همه‌ی سرریزها به دلیل تغییر ناگهانی مقاطع جریان ورودی، امری متدال است، اما شدت این امواج را با ارایه‌ی طرح هندسی مناسبی برای انحنای دماغه‌ی بالادست پایه‌ها (طول و معادله منحنی) می‌توان تا آنجا که امکان پذیر است، کاهش داد. امواج یاد شده روی سطح سازه‌ی پرتاب کننده‌ی جامی تولید امواج متلاطم را می‌کنند. این امواج با افزایش بدء عبوری از سرریز (بدء واحد پهنا) تقویت شده و بی‌نظمی آن‌ها نیز افزایش می‌یابد. تشکیل این امواج، ضمن متلاطم کردن میدان جریان روی سطح سازه

می‌شود که هرچه بده بیشتر باشد فاصله برخورد آب با حوضچه نیز بیشتر است.

باکتی با شعاع حداقل ۵۰ متر، اجتناب‌ناپذیر خواهد بود. در این نمودار با داشتن بده عبوری از روی سرریز، محل ورود آب به حوضچه را می‌توان تخمین زد مشاهده

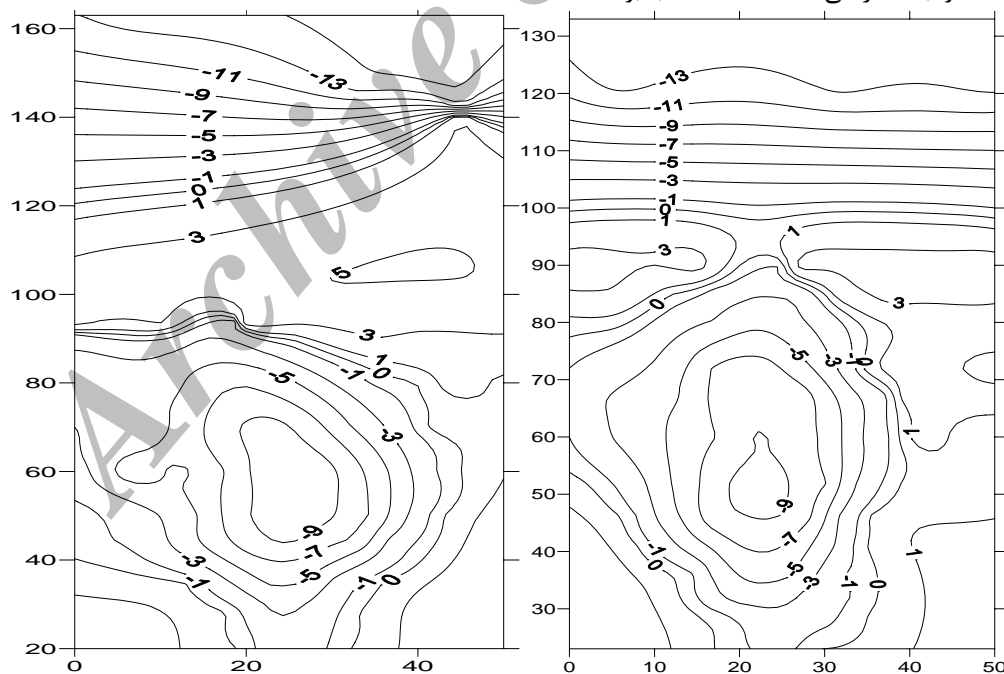


شکل ۱۵- نمودار تغییرات بده به فاصله‌ی برخورد فوران آب با حوضچه نسبت به بده.

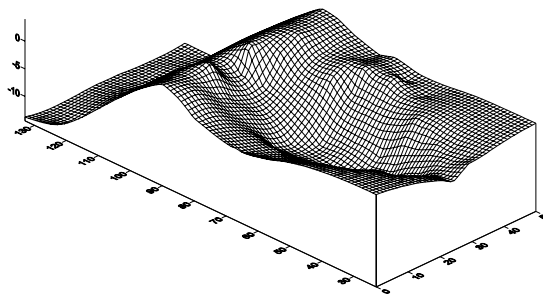
این حالت از نخستین بده تا آزمایش پنجم ، یعنی بده ۰/۰۰۴۱۳ مترمکعب بر ثانیه در شبیه(۶ ۲۱۱۸/۸۰۶) مترمکعب بر ثانیه در اصل) به وقوع پیوسته است. در زیر شکل پستی و بلندی و سه بعدی چند آزمایش پنجم برای نمونه ارائه شده است.

نتایج مربوط به حفره‌ی ایجاد شده در حوضچه‌ی استغراق

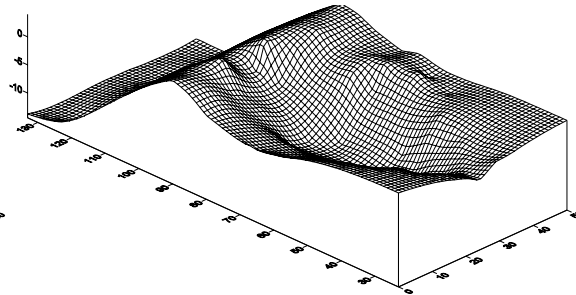
حفره‌های ایجاد شده حوضچه‌ی استغراق طی آزمایش‌های انجام شده سه حالت کلی داشتند . در حالت نخست با بده عبوری در حوضچه‌ی استغراق مشکلی مشاهده نشد و ابعاد طراحی شده کاملا مناسب بوده است



شکل ۱۶- پستی و بلندی حفره‌ی ایجاد شده در آزمایش ششم.



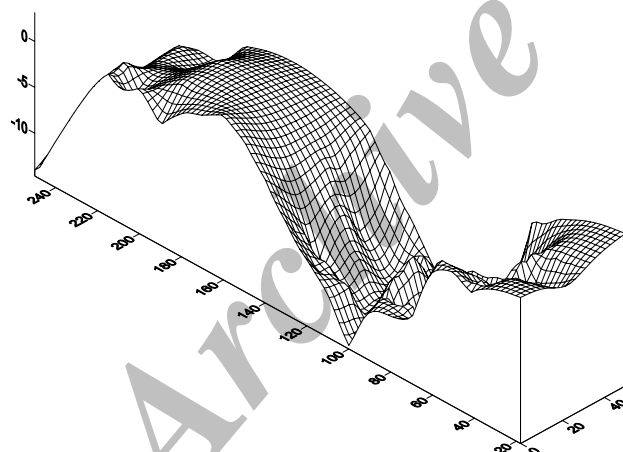
شکل ۱۹- سه بعدی حفره ایجاد شده در آزمایش هفت.



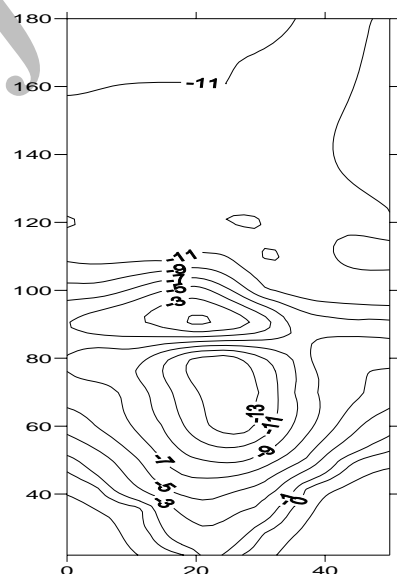
شکل ۲۰- سه بعدی حفره ایجاد شده در آزمایش پنجم.

موضوع بیانگر طراحی اشتباہ حوضچه‌ی استغراق است. همچنین حفره‌ی ایجاد شده کاملاً به کف نهر پایدار رسیده بود. در زیر شکل پستی و بلندی آزمایش هشتم و شکل سه بعدی آزمایش دوازدهم برای نمونه آورده شده است.

در حالت سوم که از بدنه $0/00836$ مترمکعب بر ثانیه در شبیه $4283/699$ مترمکعب بر ثانیه در اصل) تا بدنه سیلان 1000 ساله انجام شد، شاهد ایجاد حفره‌هایی عظیم در سطح حوضچه‌ی استغراق بودیم به گونه‌ای که حتی در بدنه آخر، بیشتر دانه‌بندی حوضچه از حوضچه خارج و تا انتهای نهر پایدار رسوب کرده بود که این



شکل ۲۱- سه بعدی حفره‌ی ایجاد شده در آزمایش دوازدهم.



شکل ۲۰- پستی و بلندی حفره‌ی ایجاد شده در آزمایش هشتم.

منابع:

- دانشمند. آزادی یزدی و شمس، فرهنگ. احسان و مهرزاد، ۱۳۸۵، تست هیدرولیکی بر روی دریچه فلپ سرریز سد شیرین دره.
- دستغیب ا، عشایری ح. ۱۳۸۵. بررسی و بدست آوردن معادله جلوی منحنی سرریز اوجی، دانشگاه آزاد اسلامی واحد مرودشت.
- دفتر مطالعات سد سلمان فارسی. ۱۳۸۶. گزارش پیشرفت کار ماهیانه، شرکت سهامی آب منطقه‌ای فارس.
- شفاعی بجستان م. ۱۳۸۴. مبانی و کاربرد شبیه‌های فیزیکی- هیدرولیکی، انتشارات دانشگاه شهید چمران اهواز.
- Pinto N. 1990. Protory Aerator Measure Ments, Chapter, Univercity of raiana, Brazil.
- Chanson H. 1994. Comparison of energy dissipation between nappe and skimming flow regimes on stepped chutes. J. Hyd. Res. 32(2): 213-218.
- Pagliara Hager. Minor, Stefano. Willih. Erwin, 2006 Hydraulics of Plane Pool Scour, ASCE, Vol 132, No 5.
- Cassidy J. 1970 , Designing spillway crests for high-head operation, of Hyd. Div., Proc. ASCE.